

1 DOI: 10.11817/j.ysxb.1004.0609.2020-39705
2 引文格式: 洪标, 王友彬, 李锋等. 酸性溶液中铼的电沉积行为研究[J]. 中国有色金属学报, DOI:
3 10.11817/j.ysxb.1004.0609.2020-39705
4 HONG Biao, WANG Youbin, LI Feng. Electrodeposition of rhenium from acidic solution[J]. The
5 Chinese Journal of Nonferrous Metals, DOI: 10.11817/j.ysxb.1004.0609.2020-39705

6

7 酸性溶液中铼的电沉积行为



8 洪标^{1,2}, 王友彬^{1,2,*}, 李锋², 韦悦周^{1,2}, 藤田丰久^{1,2}

9 (1 广西大学 广西有色金属及特色材料加工重点实验室, 广西 南宁, 530004;

10 2 广西大学资源环境与材料学院, 广西 南宁, 530004;)

11

12 **摘要:** 采用电化学循环伏安法、恒电位沉积法和电化学石英微晶天平(EQCM)研究了铼在酸
13 性溶液中的电沉积行为。研究发现, 当溶液接近中性($\text{pH} = 6$)时, 金属铼难以被还原出来;
14 当溶液酸度较低($\text{pH} = 3$)时, 在电沉积产物含有铼的氧化物(ReO_3)。在溶液酸度较高时($\text{pH} =$
15 1), 电沉积产物为金属铼, 所得产物的微观形貌中存在明显的裂纹, 且随着溶液中 ReO_4^- 浓
16 度的增加, 铼的电沉积得到促进。在 1.0 mmol/L ReO_4^- ($\text{pH} = 1$)溶液中铼的沉积电位为-0.68V。
17 通过恒电位沉积得出不同条件下的电解效率, 最高为 5.62%。

18 **关键字:** 铼; 电沉积; 电流效率; 石英微晶天平

19 中图分类号: TQ151.8

20

21 Electrodeposition of rhenium from acidic 22 solution

23 HONG Biao^{1,2}, WANG Youbin^{1,2,*}, LI Feng², WEI Yuezhou^{1,2}, FUJITA Toyohisa^{1,2}

24 (1 Guangxi Key Laboratory of Processing for Non-ferrous Metal and Featured Materials,

25 Guangxi University, Nanning 530004;

基金项目: 国家自然科学基金面上项目(11975082), 广西科技重大专项(AA17204100);

收稿日期: 修订日期:

通讯作者: 王友彬, 讲师, 博士; 电话: 0771-3392507; E-mail: wangyoubin@gxu.edu.cn

27 **Abstract:** The electrodeposition of rhenium from acidic solution was studied by cyclic
28 voltammetry, potentiostatic electrodeposition and electrochemical quartz microcrystal balance
29 (EQCM). It is found that metal rhenium is difficult to be reduced from near neutral solutions
30 ($\text{pH} = 6$); the electrodeposition product contains rhenium oxide (ReO_3) from solutions with low
31 acidity ($\text{pH} = 3$); In solutions with high acidity ($\text{pH} = 1$), the electrodeposition product is metallic
32 rhenium, increasing the concentration of ReO_4^- can promote the electrodeposition of rhenium,
33 while there are obvious cracks in the morphology of metal rhenium. The electrodeposition
34 potential of rhenium was determined to be -0.68V in solutions containing with 1.0 mmol/L ReO_4^-
35 ($\text{pH} = 1$). Current efficiency for different conditions is up to 5.62%, obtained by potentiostatic
36 electrodeposition.

37 **Keyword:** Rhenium; Electrodeposition; Current efficiency; EQCM;

38 **Foundation item:** Project (11975082) supported by the National Natural Science Foundation of
39 China; Project (AA17204100) supported by Guangxi Science and Technology
40 Major Project.

41 **Received date:** **Accepted date:**

42 **Corresponding author:** WANG Youbin; Tel: 0771-3392507; E-mail: wangyoubin@gxu.edu.cn

43

44 镍是一种稀贵金属，具有高硬度、耐高温、抗蠕变等性能，因此在高温合金及涂层^[1-3]、
45 催化^[4, 5]、能源^[6]、生物医学^[7, 8]等领域具有重要的应用，是一种重要的战略资源^[9,10]。目前，
46 工业上常用氢气还原高镍酸铵制备金属镍^[11,12]，电化学还原沉积的方法较少^[13]。与氢还原法
47 相比，电沉积法具有过程简单、易操作、安全性高的特点，是一种简便的制备金属镍的方法
48 [13-15]。然而，镍在酸性溶液中的最高价态为+7 价，在还原过程中很容易生成中间价态镍的
49 化合物，如 ReO_2 和 ReO_3 ，因此得出确切的还原机理较为困难；另一方面，由于高价态的镍
50 电沉积过程一般存在多步骤的电子还原，形成中间价态，造成电流空耗。

51 国内外的许多研究者已经在镍的电沉积行为研究方面取得了一些进展。在酸性电解液中，
52 镍的电沉积产物会随着酸度的不同而发生改变^[16,17]。在碱性电解液中，镍的电沉积产物包含
53 金属镍和镍的氧化物^[18]。然而，对于镍在酸性溶液中的电沉积行为，其最佳的沉积条件和
54 阴极还原过程的理论分析至今还没有达成一个共识^[13]。因此，镍在酸性溶液中的电沉积行

55 为有着很重要的研究价值。

56 不仅如此，在铼的电沉积过程中，其副反应析氢反应剧烈发生，铼还原电流被析氢电流
57 所掩盖，难以确定其电化学反应过程。电化学石英微晶天平技术(EQCM)可以实时监测电沉
58 积和溶解过程中的电极的质量变化和电流变化，这为研究电极表面复杂的电化学行为提供了
59 有利的工具^[19-21]。

60 为了进一步理解铼在酸性溶液中的电沉积行为，在本工作中，通过联合电化学工作站和
61 微晶天平进行研究。采用扫描电子显微镜(SEM)，X 射线能谱分析(EDS)和 X 射线衍射分析
62 (XRD)分析电沉积产物的形貌、成分和结构，通过恒电位沉积法确定其电流效率

63

64 1 实验

65 用于实验的溶液都是用分析级试剂和超纯水(18MΩcm)制备。高铼酸铵购于上海麦克林
66 生化科技有限公司，硫酸购于国药集团化学试剂有限公司，用以配制不同酸度和 ReO_4^- 浓度
67 的溶液。为了防止水溶液中的氧气对电化学反应造成的干扰，在实验前，对溶液通入氮气
68 20 分钟，然后在氮气氛围下进行后续实验。

69 采用美国 Ametek 公司 PARSTAT 4000A 型电化学工作站进行电化学实验。循环伏安实
70 验和恒电位沉积实验采用三电极系统：工作电极和对电极均为铂片，参比电极为饱和甘汞电
71 极(SCE)。工作电极和对电极在每次使用前，首先用 0.05μm 的氧化铝悬浊液进行机械抛光，
72 接着在硝酸溶液(体积比为 1:1)中超声清洗 20min，然后再在无水乙醇和超纯水中分别超声
73 20min，最后用超纯水清洗。所有实验在室温下进行。

74 循环伏安的扫描速率是 10mV/s。对于恒电位沉积实验，沉积电位均为-0.80 V，沉积时
75 间为 5000 s。电沉积结束后，快速取出工作电极并用去离子水冲洗电极表面残余的电解液，
76 快速吹干，后置于电干燥箱内在 75 °C 下干燥。采用荷兰飞纳 Phenom ProX 型分析产物的
77 形貌和元素组成，测试电压为 15 kV。采用日本理学 Rigaku SMARTLAB3KW 型 X 射线衍
78 射仪(XRD)表征电沉积产物的物相，测试电压为 40 kV，电流密度 30mA，扫描速率为 8 °/min。

79 采用式(1)计算电沉积电流效率，式中： η 为电流效率[%]， m 为电沉积前后工作电极的质
80 量变化[g]， n 为转移的电子数[n=7]， F 为法拉第常数[96485 C/mol]， Q 为电沉积消耗的总电
81 荷[C]， M 为铼的相对原子质量， $M_{\text{Re}}=186.21 \text{ g/mol}$ 。

$$82 \quad \eta = \frac{mnF}{QM} \times 100\% \quad (1)$$

83 电化学石英微晶天平实验(EQCM)的工作电极是 AT-cut 石英晶体铂晶振片电极 (基准频
84 率 $f_0=9.0$ MHz, 有效表面面积 $A=0.198$ cm 2), 对电极是铂片, 参比电极是饱和甘汞电极。电
85 极频率变化(Δf)与质量变化(Δm)之间的关系用 Sauerbrey 方程来描述^[22]

86
$$\Delta m = -K \times \Delta f \quad (2)$$

87 式中: Δf 为石英晶体晶振片的频率变化。 Δm 为石英晶体晶振片的质量变化。K 为石英晶体
88 晶振片的灵敏度系数, 对于 QCM922A 9 MHz 晶体, 1 Hz 的变化等于 1.068 ng。

89 根据法拉第定律

90
$$\Delta m = \frac{M}{z \times F} \times \Delta q \quad (3)$$

91 式中: M 为沉积的摩尔质量[g/mol], F 为法拉第常数[96485 C/mol], Δq 为反应消耗的总电
92 荷[C], z 为参与反应的电子量。对其进行适当变换, 可以写成

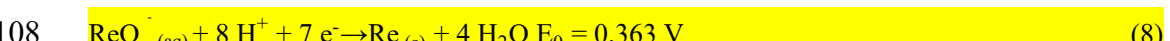
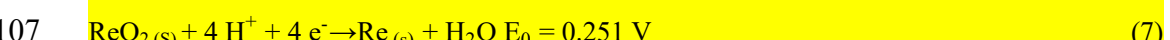
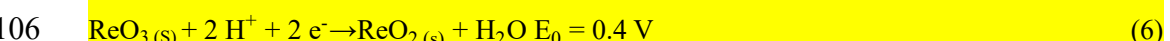
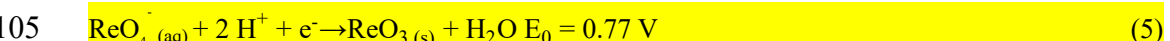
93
$$\frac{M}{z} = F \times \frac{\Delta m}{\Delta q} = F \times \frac{-K \times \Delta f}{\Delta q} \quad (4)$$

94 M/z 值, 即电极表面反应时每 1 mol 电子转移时引起的质量变化量, 可以根据实验的质量变
95 化和电荷变化得出。实验 M/z 值可以推测出电极表面沉积物种和沉积物的摩尔质量。

96

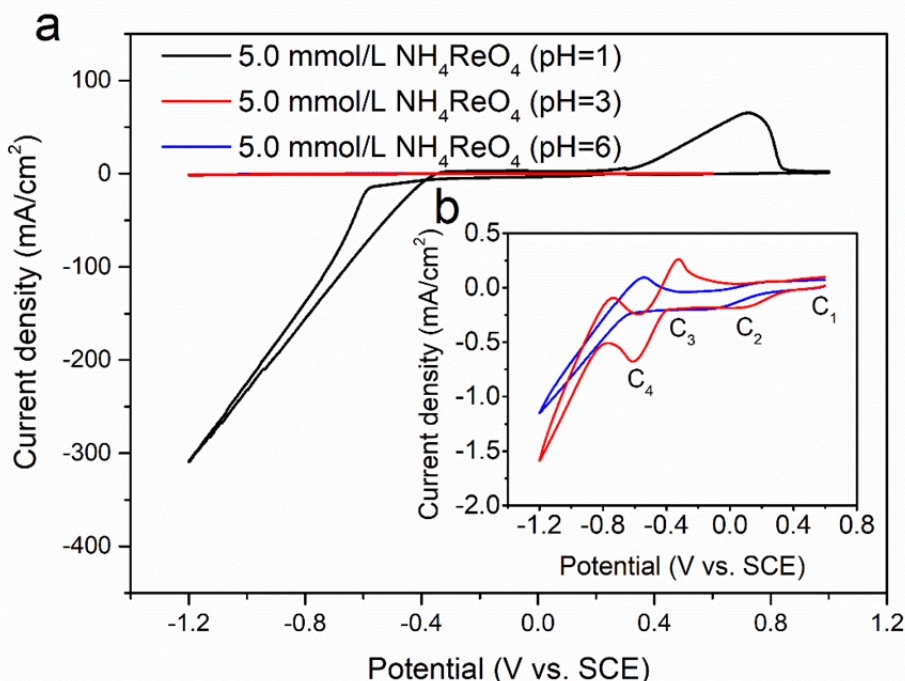
97 2 结果与分析

98 图 1 是在不同酸度条件下的 5.0 mmol/L ReO₄⁻溶液中的循环伏安曲线。在 5.0 mmol/L
99 ReO₄⁻ (pH = 3)溶液中的负向扫描过程中, 在不同电位下出现了还原峰, 分别标记为 C₁、C₂、
100 C₃、C₄。其中, C₁ 处相对应的电化学反应方程式为式 5, C₂ 处相对应的电化学反应方程式
101 为式 6, C₃ 处相对应的电化学为析氢反应, C₄ 处相对应的电化学反应方程式为式 7^[13]。由于
102 析氢反应电流峰 C₃ 电位高于铼的还原对应的电位 C₄, 所以在铼的电沉积过程析氢反应持续
103 存在。在正向扫描过程中, 在电位-0.32 V 处出现的氧化峰, 对应的峰值电流密度为 0.26
104 mA/cm², 其电量为 14.80 μC。



109 在 5.0 mmol/L ReO₄⁻ (pH = 6)溶液中的在正向扫描过程中, 在电位-0.54 V 处出现了氧化
110 峰, 对应的峰值电流密度为 0.09 mA/cm², 其电量为 4.93 μC。在 5.0 mmol/L ReO₄⁻ (pH = 1)

111 溶液中进行循环伏安扫描时, 当电位从终止电位向正方向扫描时, 阴极电流下降较为缓慢,
 112 使反向扫描曲线与正向扫描曲线相交, 形成了典型的成核环, 这是电结晶成核过程的特点^[23]。
 113 这说明了在此条件下铼在电极上电结晶, 其铼的多步骤还原过程合并为式 8。在正向扫描过
 114 程中, 在 0.73 V 处出现的氧化峰, 其峰值电流密度为 65.30 mA/cm², 其电量为 4.13 mC。从
 115 三种条件下的氧化峰电流和电量可以知道, 在 5.0 mmol/L ReO₄⁻ (pH=1) 的溶液中, 循环伏安
 116 扫描过程中的氧化峰电流和电量远远大于另外两种条件。这说明在酸度较高的条件下, 在还
 117 原反应过程中产生的铼较多, 金属铼的电沉积较为容易, 这先前的研究相一致^[24,25]。

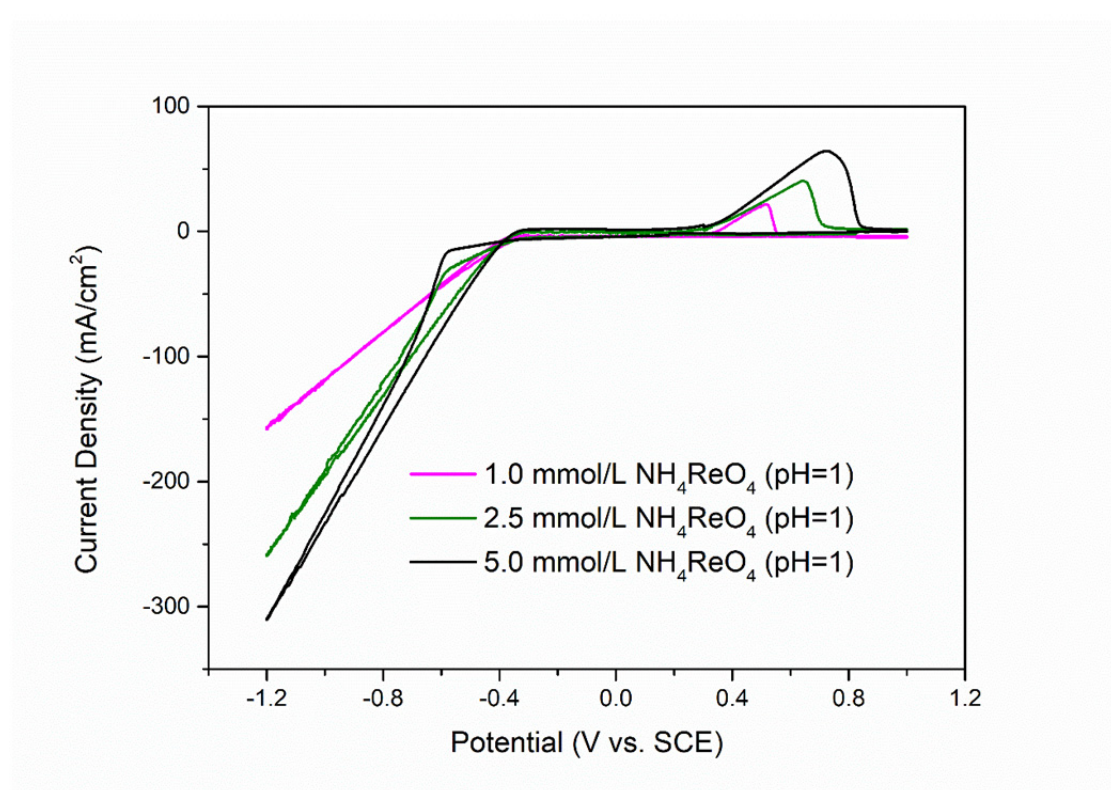


118
 119 图 1 a) 在不同酸度条件下 5.0 mmol/L ReO₄⁻ 溶液中的循环伏安曲线; b) 为图 1 a) 的 5.0
 120 mmol/L ReO₄⁻ (pH = 3) 和 5.0 mmol/L ReO₄⁻ (pH = 6) 溶液中循环伏安曲线的放大图。(扫描速
 121 率:10mV/s, 温度: 室温);

122 Fig. 1 a) CV curves in solutions containing with 5 mmol/L ReO₄⁻ with different pH; b) is the
 123 enlarged figure of cyclic voltammetry curves of 5.0mmol /L ReO4⁻ (pH = 3) and 5.0mmol /L
 124 ReO4⁻ (pH = 6) in solution as shown in Fig. 1 a. (Scan rate: 10mV/s, Temperature: room
 125 temperature)

126 图 2 是在相同酸度(pH = 1)条件下, 不同 ReO₄⁻浓度的循环伏安曲线。由于剧烈的析氢
 127 反应, 无法观察到铼的还原峰。但可以清楚地看到, 在三种条件下的循环伏安过程中, 正向

128 扫描过程中出现的氧化峰，其峰值电流密度分别为 65.30 mA/cm^2 , 40.67 mA/cm , 21.83
129 mA/cm^2 , 其电量分别为 4.13 mC , 2.00 mC , 1.29 mC 。更大的氧化峰电流表明着在还原过程
130 中成了更多的金属铼。这说了更高的 ReO_4^- 浓度有利于铼的还原反应的进行，提高了铼的电
131 沉积速率。



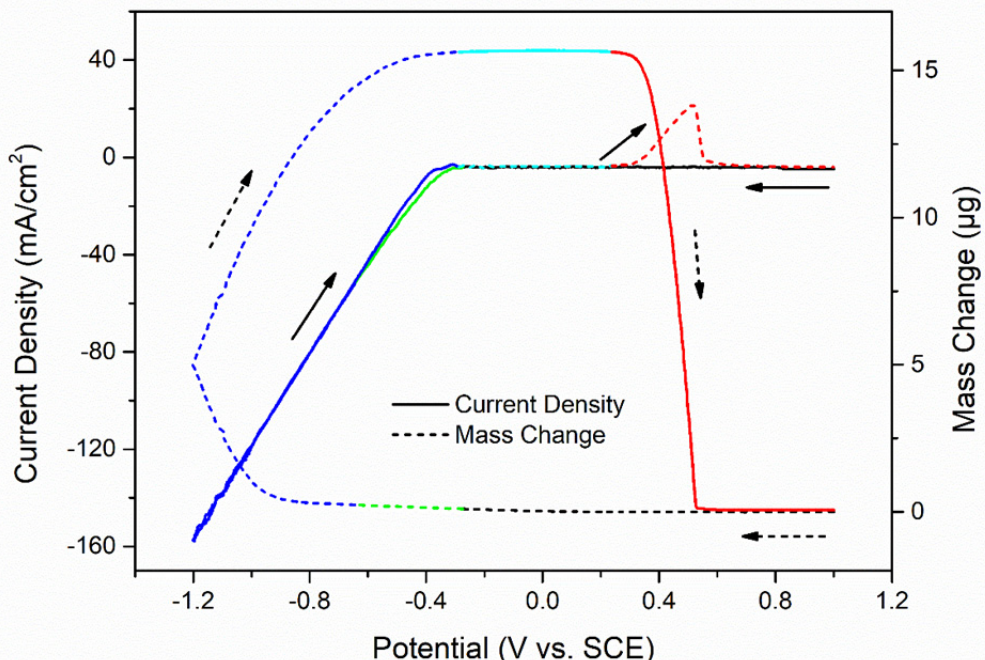
132
133 图 2 在相同酸度($\text{pH} = 1$)条件下，不同 ReO_4^- 浓度溶液中的循环伏安曲线(扫描速
134 率:10mV/s, 温度: 室温)

135 Fig. 2 CV curves in solutions containing with different concentrations of ReO_4^- ($\text{pH} = 1$)
136 (Scan rate: 10mV/s, Temperature: room temperature)

137
138 由上可知，较高的酸度和 ReO_4^- 浓度可以促进铼的电沉积。在 $5.0 \text{ mmol/L ReO}_4^-$ ($\text{pH} = 1$)
139 溶液的循环伏安过程，由于铼的还原反应发生在析氢反应的电位区域内，析氢反应非常剧烈，
140 将铼的还原峰掩盖住，故导致无法观察其还原峰位置，难以确定铼的电沉积电位。由此，进
141 行了电化学石英微晶天平实验，用来进一步研究在 $1.0 \text{ mmol/L ReO}_4^-$ ($\text{pH} = 1$) 溶液中的循环
142 伏安过程。

143 图 3 是在 $1.0 \text{ mmol/L ReO}_4^-$ ($\text{pH} = 1$) 溶液中的循环伏安曲线及相应的质量变化。在 -0.36
144 V 处出现还原电流时，质量并无任何变化，这说明了这是析氢反应起始电位^[26]。在 -0.68 V

145 处质量增加，同时，从电流上并没有观察到还原峰，这说明了这是铼的还原电位，且其还原
146 峰被剧烈的析氢反应所掩盖。在正向扫描过程中，在 0.29 V 左右出现氧化电流，随之质量
147 也发现剧烈变化，陡然下降，到最后电流和质量都回归于开始的位置。这说明在 1.0 mmol/L
148 ReO₄⁻ (pH = 1) 溶液中金属铼的氧化电位是 0.29 V，且铼的氧化溶解进行的较为迅速且彻底。



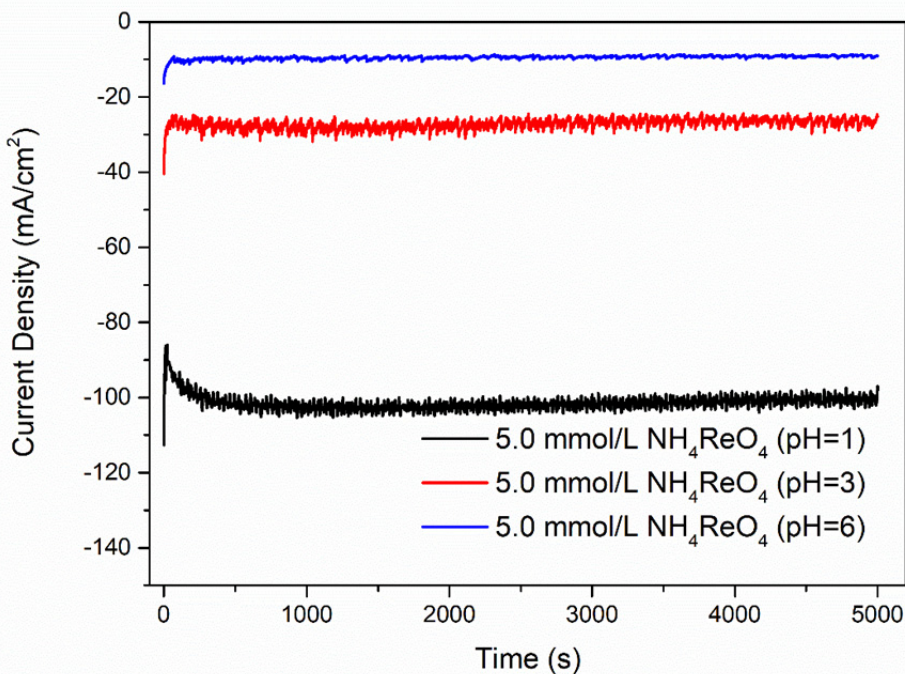
149
150 图 3 在 1 mmol/L ReO₄⁻ (pH = 1) 溶液中的循环伏安曲线及相应的电极质量变化。(扫描
151 速率:10mV/s, 温度: 室温)
152

153 Fig. 3 CV curve and corresponding mass change in solutions containing with 1 mmol/L
154 ReO₄⁻ (pH = 1) (Scan rate: 10mV/s, Temperature: room temperature)

155 当过电位较高时，铼的多步骤还原过程可以简化表达为式 8 所示的反应。基于式(4)，
156 铼的还原反应的 M (M_{Re}) 为 186.21 g/mol, z 为 7, 理论值 M/z 为 26.57 g/mol。在铼的还原
157 阶段，在较高过电位下时，根据实验得出的质量变化 Δm 为 15.62 μg ，电量变化 ΔQ 为 2.74
158 C。根据式 9 可得，实验值 M/z 为 0.55 g/mol。这说明了在铼还原反应过程中，析氢反应占
159 据了主导地位，析氢反应消耗了大量的电子，导致电量变化 ΔQ 变大，进而使得实验值 M/z
160 比理论值 M/z 小得多，这也表现了铼的电沉积电流效率非常低。

161 为了进一步探究溶液组成对铼的电沉积影响，利用电化学工作站进行了恒电位沉积实验。
图 4 为在不同酸度条件的 5.0 mmol/L ReO₄⁻ 溶液中于 -0.80 V 下沉积 5000 s 的铼的恒电位沉积

162 曲线。所有的恒电位沉积曲线都有着相同的趋势：一开始电流减小，出现一个峰值电流，随
163 后电流逐渐增大，最后趋于稳定，这是较为典型的电结晶的特征。表 1 为在不同酸度条件
164 下 5.0 mmol/L ReO_4^- 溶液中铼的电沉积电流效率，随着酸度的增加，电沉积产物质量增加，
165 电流效率也增加。由此可知，铼的还原反应是一个消耗 8 个 H^+ 的多步骤电化学反应，在反
166 应的开始阶段， H^+ 的供应是足够的，所以电沉积初始阶段的电流较大。但随着反应时间的
167 进行， H^+ 被大量消耗，局部酸度下降，这就使得还原反应的进行变得困难，还原电流也变
168 小，使得电沉积速率变得缓慢。这说明酸度对铼的还原反应有着较为重要的影响。



169
170 图 4 在不同酸度条件下 5.0 mmol/L ReO_4^- 溶液中铼的恒电位沉积曲线(沉积电位: -0.80 V,
171 沉积时间:5000 s, 温度: 室温)

172 Fig. 4 Potentiostatic electrodeposition curves of Re in solutions containing with 5.0 mmol/L
173 ReO_4^- with different pH (Electrodeposition potential: -0.80 V, Electrodeposition time: 5000 s,
174 Temperature: room temperature)

175
176
177
178

179

180

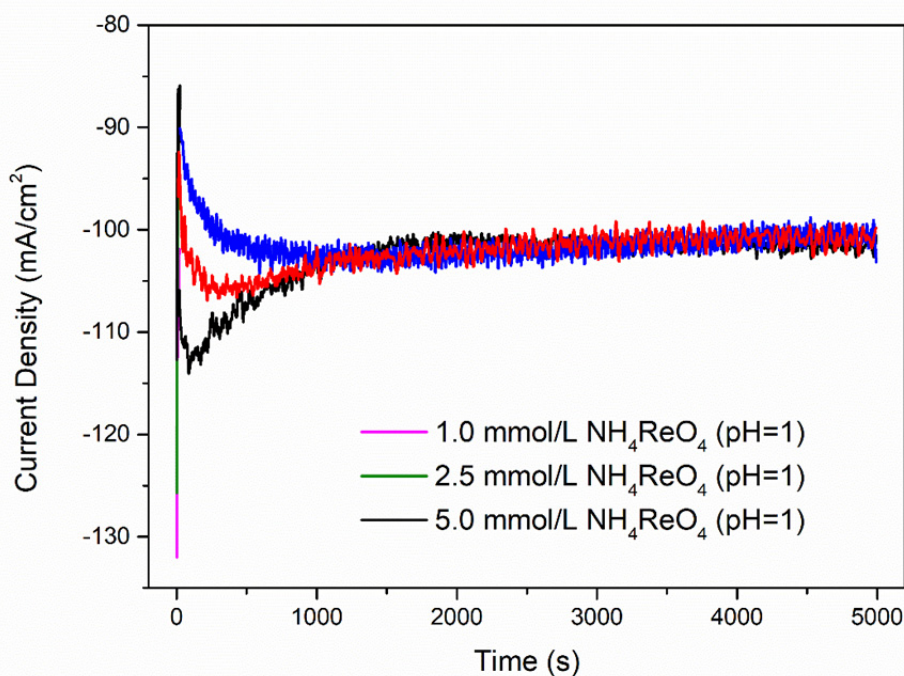
181

182

183 表 1 在不同酸度条件下 5.0 mmol/L ReO_4^- 溶液中铼的电解效率184 Table1 Current efficiency of Re in solutions containing with 5.0 mmol/L ReO_4^- with different
185 pH

pH	Electrodeposition times / s	Electrodeposit mass / g	Current
			efficiency / %
6	5000	0	0
3	5000	0.0068	1.03
1	5000	0.0966	5.62

186

187 图 5 为在相同酸度 ($\text{pH} = 1$) 条件下, 不同 ReO_4^- 浓度溶液中在 -0.80 V 下的恒电位沉积曲
188 线。表 2 为在不同 ReO_4^- 浓度下溶液($\text{pH} = 1$)中的电流效率, 随着 ReO_4^- 浓度的增加, 电沉积
189 产物质量也随之增加, 电流效率也增加。这说明提高 ReO_4^- 浓度是有利于铼的还原沉积。

190

191 图 5 在相同酸度 ($\text{pH} = 1$) 条件下, 不同 ReO_4^- 浓度下溶液中铼的恒电位沉积曲线(沉积电

192 位: -0.80 V, 沉积时间:5000 s, 温度: 室温)

193 Fig. 5 Potentiostatic electrodeposition curves of Re in solutions containing with different
194 concentrations of ReO_4^- ($\text{pH}=1$) (Electrodeposition potential: -0.80V, Electrodeposition time:
195 5000s, Temperature: room temperature)

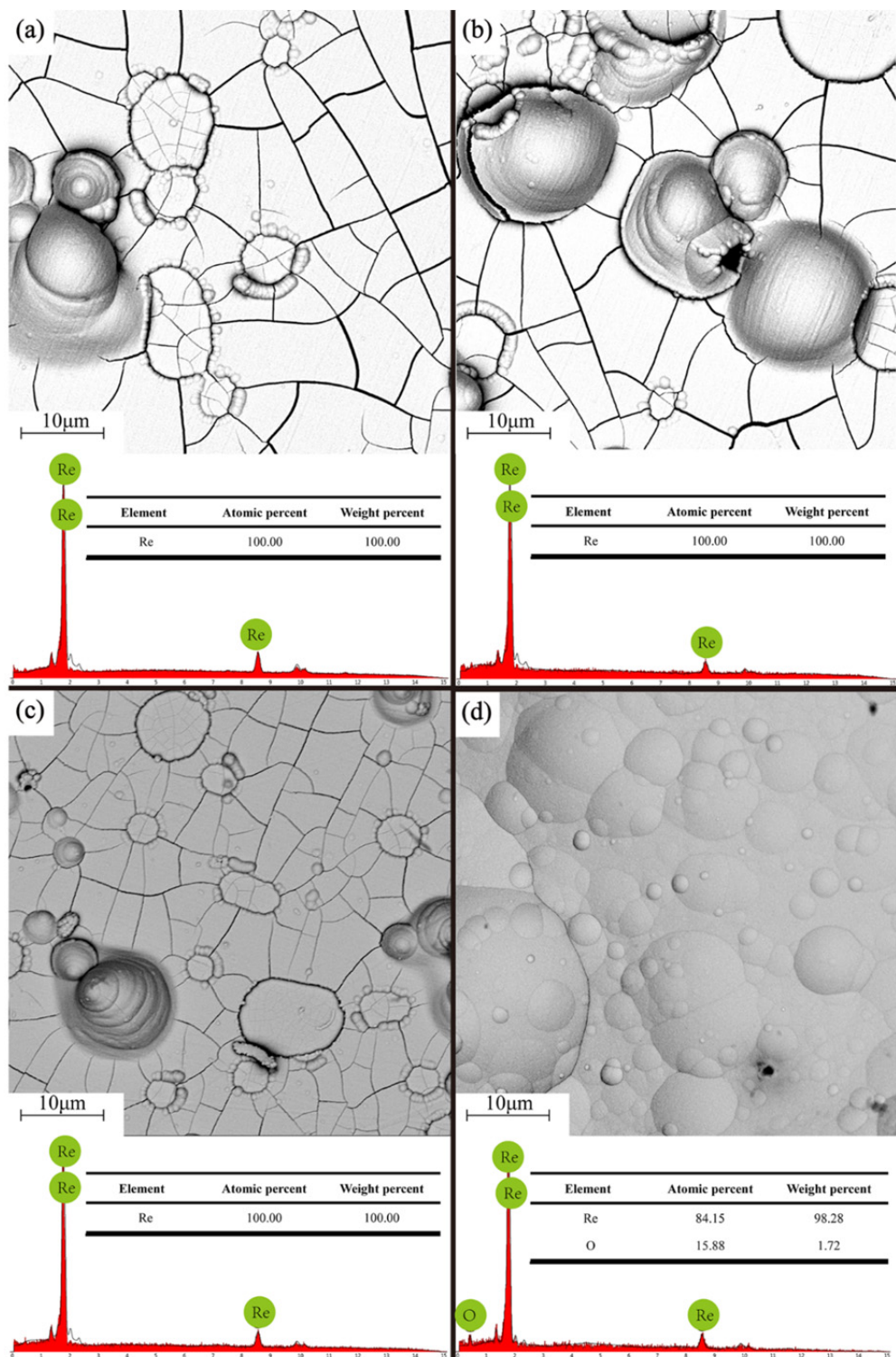
196 表 2 在相同酸度($\text{pH}=1$)条件下, 不同 ReO_4^- 浓度下溶液中铼的电解效率

197 Table 2 Current efficiency of Re in solutions containing with different concentrations of
198 ReO_4^- ($\text{pH}=1$)

ReO ₄ ⁻ concentrations / mmol/L	Electrodeposition times / s	Electrodeposit mass / g	Current efficiency / %
1.0	5000	0.0280	1.46
2.5	5000	0.0581	3.21
5.0	5000	0.0966	5.62

199 图 6 是在不同条件下, 在-0.80V 恒电位沉积获得的产物的微观形貌和相应的 EDS 元素
200 分析。要说明的是在接近中性(1.0 mmol/L ReO_4^- ($\text{pH} = 6$))的溶液中, 没有得到电沉积产物,
201 故没有相应的扫描电镜图片。从电沉积产物的微观形貌来看(Fig. 6(a-c)), 在相同酸度($\text{pH} = 1$),
202 不同 ReO_4^- 浓度的溶液中, 得到的电沉积产物微观形貌相似:形成一个个类似于小山丘形状,
203 且沉积物表面布满裂纹, 这和 Huang Q 等人观察到的现象一致^[27]。从 EDS 成分分析结果可
204 知, 电沉积产物均为金属铼, 纯度较高, 无任何杂质; 在 5.0 mmol/L ReO_4^- ($\text{pH} = 3$)溶液中
205 获得的电沉积产物的微观形貌(Fig. 6d)也是一个个类似于小山丘的形状, 但没有出现裂纹。
206 从 EDS 数据来看, Re 与 O 的原子比率为 1: 0.19, 电沉积产物基本是金属铼, 但含有少量
207 氧化物。另外, 可能是电沉积速率较慢, 所以裂纹较少。由此可知, 当酸度较低($\text{pH} = 3$)的
208 条件下, 电沉积产物是金属铼和氧化物。

209 为了进一步确定在酸度不同的条件下沉积物的物相成分, 对沉积产物进行了 XRD 测试,
210 结果见图 7。在酸度较高($\text{pH} = 1$)的条件下, 其沉积产物为金属铼, 没有别的杂质峰。然而,
211 在酸度较低($\text{pH} = 3$)的条件下, 出现了 ReO_3 的特征峰。由此可以确定, 在酸度较低的条件下,
212 沉积产物中铼的氧化物是以 ReO_3 的形式存在, 致使其电沉积产物中存在 ReO_3 与 Re 混合存
213 在的现象。因此, 酸度对电沉积产物的微观形貌和组成成分起着决定性作用, 而 ReO_4^- 浓度
214 对电沉积产物微观形貌和组成成分影响并不大。

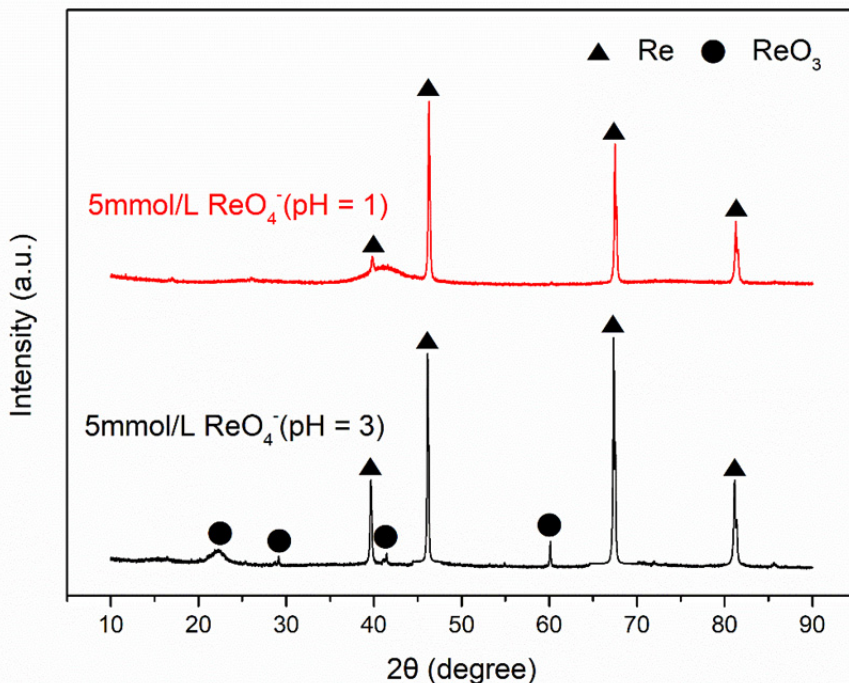


215

216 图 6 在不同条件下获得的电沉积产物的微观形貌和 EDS 能谱: (a) 1.0 mmol/L ReO_4^- ($\text{pH} = 1$);217 (b) 2.5 mmol/L ReO_4^- ($\text{pH} = 1$); (c) 5.0 mmol/L ReO_4^- ($\text{pH} = 1$)。

218 Fig. 6 The SEM image and EDS data of electrodeposition products obtained from different

219 composition solutions: (a) 1.0 mmol/L ReO_4^- ($\text{pH} = 1$); (b) 2.5 mmol/L ReO_4^- ($\text{pH} = 1$); (c) 5.0220 mmol/L ReO_4^- ($\text{pH} = 1$); (d) 5.0 mmol/L ReO_4^- ($\text{pH} = 1$)。



221

222

图 7 在不同条件下获得的电沉积产物的 XRD 图谱: 5.0 mmol/L ReO_4^- ($\text{pH}=1$) 和 5.0 mmol/L ReO_4^- ($\text{pH}=3$)。

224

225

Fig 7 XRD patterns of electrodeposits obtained from different composition solutions: 5.0 mmol/L ReO_4^- ($\text{pH}=1$) and 5.0 mmol/L ReO_4^- ($\text{pH}=3$).

226

3 结论

227

采用电化学循环伏安、恒电位电沉积和电化学石英微晶天平，对铼在酸性溶液的电沉积行为进行了探究。铼的电解还原受电解液的酸度和 ReO_4^- 的浓度影响，较高的酸度和 ReO_4^- 浓度可以提高电流效率，促进铼的电沉积。在溶液接近中性($\text{pH} = 6$)时，此时金属铼难以被还原沉积出来；在酸度较低($\text{pH} = 3$)时，电沉积产物中含有铼的氧化物(ReO_3)；在酸度较高($\text{pH} = 1$)时，沉积产物的微观形貌都有裂纹，且电沉积产物都是金属铼；利用电化学石英微晶天平技术研究了 1.0 mmol/L ReO_4^- ($\text{pH}=1$)溶液中的铼的氧化还原，确定了铼的析出电位为 -0.68V。通过恒电位沉积得出不同条件下铼的电解效率，最高为 5.62%。

234

参考文献

235

236

- [1] Baik S I, Duhin A, Phillips P J, Klie R F, Gileadi E, Seidman D N, Eliaz N. Atomic-Scale Structural and Chemical Study of Columnar and Multilayer Re-Ni Electrodeposited Thermal Barrier Coating [J]. Advanced

- 237 Engineering Materials, 2016, 18(7): 1133-1144.
- 238 [2] Majchrowicz K, Pakiela Z, Brynk T, Romelczyk-Baishya B, Plocinska M, Kurzynowski T, Chlebus, E.
- 239 Microstructure and mechanical properties of Ti-Re alloys manufactured by selective laser melting [J].
- 240 Materials Science and Engineering: A, 2019, 765: 138290.
- 241 [3] Majchrowicz K, Pakiela Z, Moszczynska D, Kurzynowski T, Chlebus E. Hot Corrosion of Ti-Re Alloys
- 242 Fabricated by Selective Laser Melting [J]. Oxidation of Metals, 2017, 90(1-2): 83-96.
- 243 [4] Garcia-Garcia R, Ortega-Zarzosa G, Rincon M E, Orozco G. The Hydrogen Evolution Reaction on Rhenium
- 244 Metallic Electrodes: A Selected Review and New Experimental Evidence [J]. Electrocatalysis, 2014, 6(3):
- 245 263-273.
- 246 [5] Vargas-Uscategui A, Mosquera E, Chornik B, Cifuentes L. Electrocatalysis of the hydrogen evolution reaction
- 247 by rhenium oxides electrodeposited by pulsed-current [J]. Electrochimica Acta, 2015, 178: 739-747.
- 248 [6] Wu M G, Yang J L., Ng D H L. Ma J M. Rhenium Diselenide Anchored on Reduced Graphene Oxide as
- 249 Anode with Cyclic Stability for Potassium-Ion Battery [J]. Physica Status Solidi-Rapid Research Letters,
- 250 2019, 13(10): 1900329.
- 251 [7] Lo KKW. Luminescent Rhenium(I) and Iridium(III) Polypyridine Complexes as Biological Probes, Imaging
- 252 Reagents, and Photocytotoxic Agents [J]. Accounts of Chemical Research, 2015, 48(12): 2985-2995.
- 253 [8] Leonidova A, Gasser G. Underestimated potential of organometallic rhenium complexes as anticancer agents
- 254 [J]. ACS Chemical Biology, 2014, 9(10): 2180-2193.
- 255 [9] Naor A, Eliaz N, Gileadi E, Taylor S R. Properties and applications of rhenium and its alloys [J]. The
- 256 AMMTIAC Quarterly, 2010, 5(1): 11-3.
- 257 [10] 李文静, 黄龙, 唐和清, 董学林, 吕基平, 朱丽华. 铒元素分离富集研究进展[J].中国有色金属学报,
- 258 2020, 30(1): 214-226.
- 259 LI Wen-jing, HUANG Long, TANG He-Qing, DONG Xue-ling, LV Ji-hua, ZHU Li-hua. Researches progress
- 260 on separation and enrichment of rhenium [J]. The Chinese Journal of Nonferrous Metals, 2020, 30(1):
- 261 214-226.
- 262 [11] Bai M, Liu Z H, Zhou L J, Liu Z Y, Zhang C F. Preparation of ultrafine rhenium powders by CVD hydrogen
- 263 reduction of volatile rhenium oxides [J]. Transactions of Nonferrous Metals Society of China, 2013, 23(2):
- 264 538-542.

- 265 [12] Luidold S, Antrekowitsch H. Hydrogen as a reducing agent: State-of-the-art science and technology [J]. JOM,
266 2007, 59(6): 20-26.
- 267 [13] Zhulikov V V, Gamburg Y D. Electrodeposition of rhenium and its alloys [J]. Russian Journal of
268 Electrochemistry, 2016, 52(9): 847-857.
- 269 [14] Vargas-Uscategui A, Mosquera E, Cifuentes L. Analysis of the electrodeposition process of rhenium and
270 rhenium oxides in alkaline aqueous electrolyte [J]. Electrochimica Acta, 2013, 109: 283-290.
- 271 [15] Wang J, Bai S, YE Y, Zhang H, Zhu L. Microstructure and mechanical properties of rhenium prepared by
272 electroforming in NaCl-KCl-CsCl-K₂ReCl₆ molten salts [J]. International Journal of Refractory Metals and
273 Hard Materials, 2018, 72: 263-269.
- 274 [16] Szabo' S, Bakos I. Electrodeposition of rhenium species onto a gold surface in sulfuric acid media [J]. Journal
275 of Solid State Electrochemistry, 2004, 8(3): 190-194.
- 276 [17] Cao H Z, Chai D G, Wu L K, Zheng G Q. Communication—A Mechanistic Study on Electrodeposition of
277 Rhenium from Acidic Solution of Ammonium Perrhenate [J]. Journal of The Electrochemical Society, 2017,
278 164(13): D825-D827.
- 279 [18] Uscategui A V, Mosquera E, Cifuentes L. Transmission electron microscopy study of electrodeposited
280 rhenium and rhenium oxides [J]. Materials Letters, 2013, 94: 44-46.
- 281 [19] Azpeitia L A, Gervasi C A, Bolzan A E. Electrochemical aspects of tin electrodeposition on copper in acid
282 solutions [J]. Electrochimica Acta, 2019, 298: 400-412.
- 283 [20] Zelinsky A G, Novgorodtseva O N. EQCM study of the dissolution of gold in thiosulfate solutions [J].
284 Hydrometallurgy, 2013, 138: 79-83.
- 285 [21] Jee H W, Paeng K J, Son Y, Jang Y, Rho K, Myung N. Electrosynthesis of Cobalt Telluride Thin Films by
286 Voltammetry Combined with Electrochemical Quartz Crystal Microgravimetry [J]. Journal of The
287 Electrochemical Society, 2018, 166(5): H3035-H3039.
- 288 [22] Hong B, Wang Y, Wei X, Huang Q, Wang X, Fujita T, Wei Y. EQCM study on the electrochemical redox
289 behavior of gallium in alkaline solution, Hydrometallurgy, 194 (2020) 105
290 344.
- 291 [23] Zhang J, An M Z, Chen Q ,Liu A M, Jiang X, Ji S, Lian Y, Wen X. Electrochemical Study of the Diffusion
292 and Nucleation of Gallium(III) in Bmim TfO Ionic Liquid [J]. Electrochimica Acta, 2016, 190: 1066-1077.

- 293 [24] Mendez E, Cerda M F, Luna A M C, Zinola C F, Kremer C, Martins M E. Electrochemical behavior of
294 aqueous acid perrhenate-containing solutions on noble metals: critical review and new experimental evidence
295 [J]. Journal of Colloid and Interface Science, 2003, 263(1): 119-132.
- 296 [25] Kanamura S, Mizuguchi K, Fujita R, Kondo N. Electrodeposition of Rhenium Species at a Stainless Steel
297 Electrode from Acidic, Neutral, and Alkaline Solutions [J]. Journal of The Electrochemical Society, 2013,
298 161(3): D92-D96.
- 299 [26] Schrebler R, Cury P, Suarez C, Munoz E, Vera F, Cordova R, Gomez H, Ramos-Barrado J R, Leinen D,
300 Dalchiele E A. Study of the electrodeposition of rhenium thin films by electrochemical quartz microbalance
301 and X-ray photoelectron spectroscopy [J]. Thin Solid Films, 2005, 483(1-2): 50-59.
- 302 [27] Huang Q, Lyons T W. Electrodeposition of rhenium with suppressed hydrogen evolution from water-in-salt
303 electrolyte [J]. Electrochemistry Communications, 2018, 93: 53-56.
- 304